

Fig. 4.7. Spatial distribution of the winter maximum cumulative duration of dry spells detected based on 1 mm threshold
Distribuția spațială a duratei cumulate maxime a perioadelor secetoase din anotimpul de iarnă detectată pe baza pragului de 1 mm

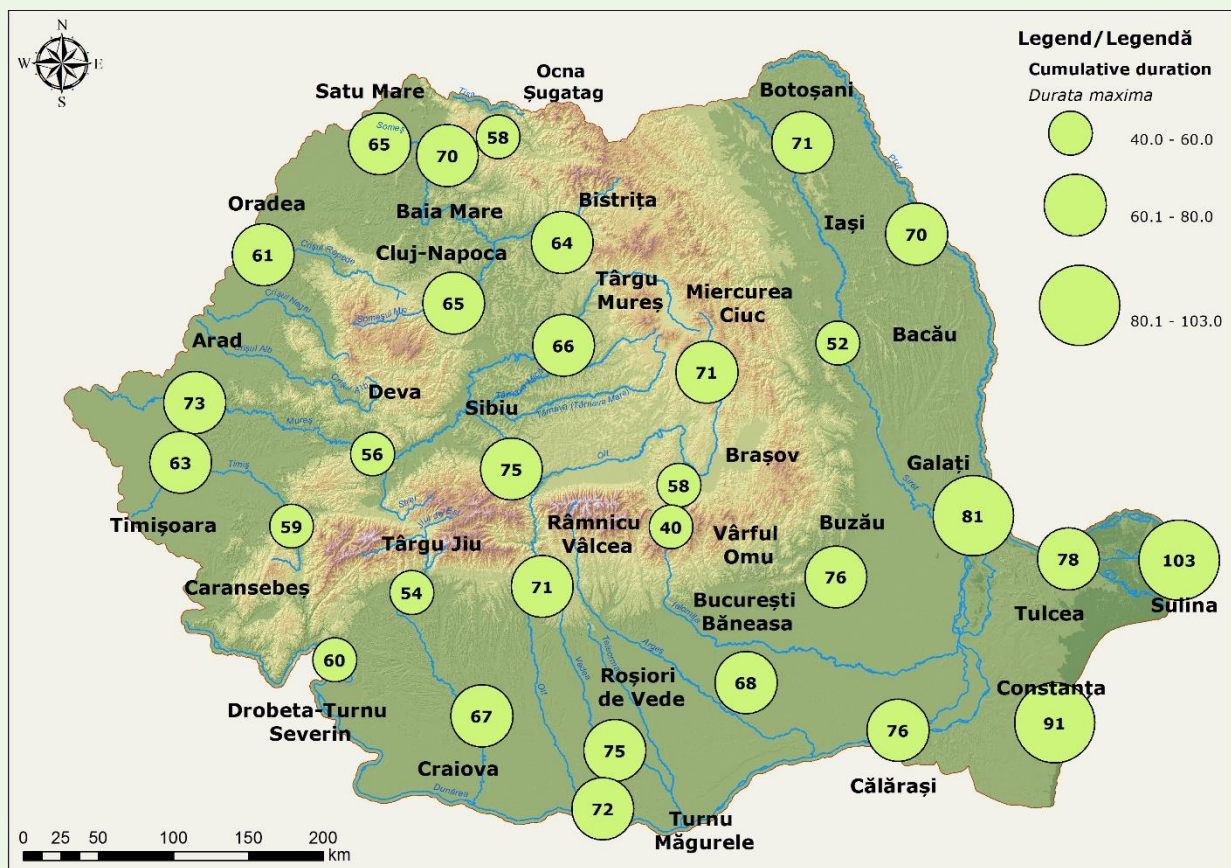


Fig. 4.8. Spatial distribution of the spring maximum cumulative duration of dry spells detected based on 1 mm threshold
Distribuția spațială a duratei cumulate maxime a perioadelor secetoase din anotimpul de primăvară detectată pe baza pragului de 1 mm

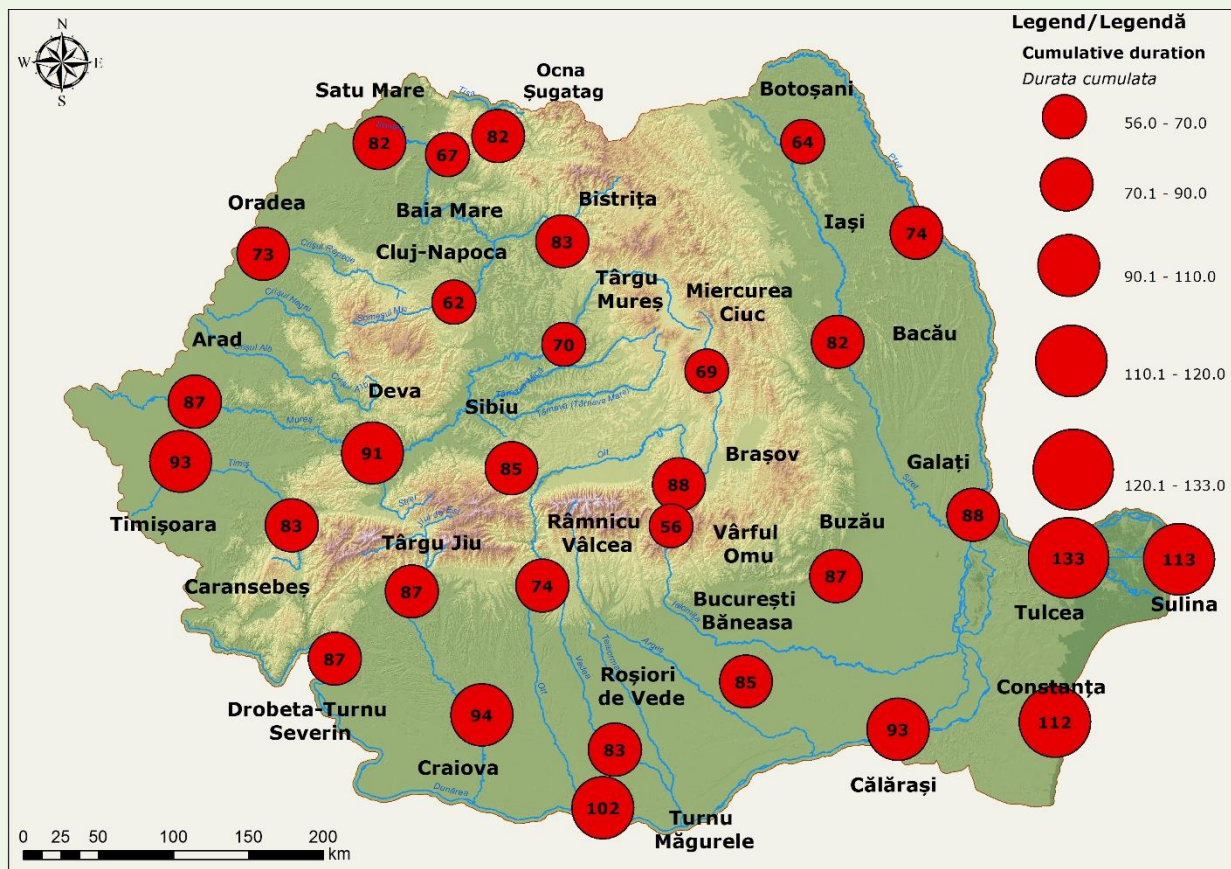


Fig. 4.9. Spatial distribution of the summer maximum cumulative duration of dry spells detected based on 1 mm threshold
 Distribuția spațială a duratei cumulate maxime a perioadelor secetoase din anotimpul de vară detectată pe baza pragului de 1 mm

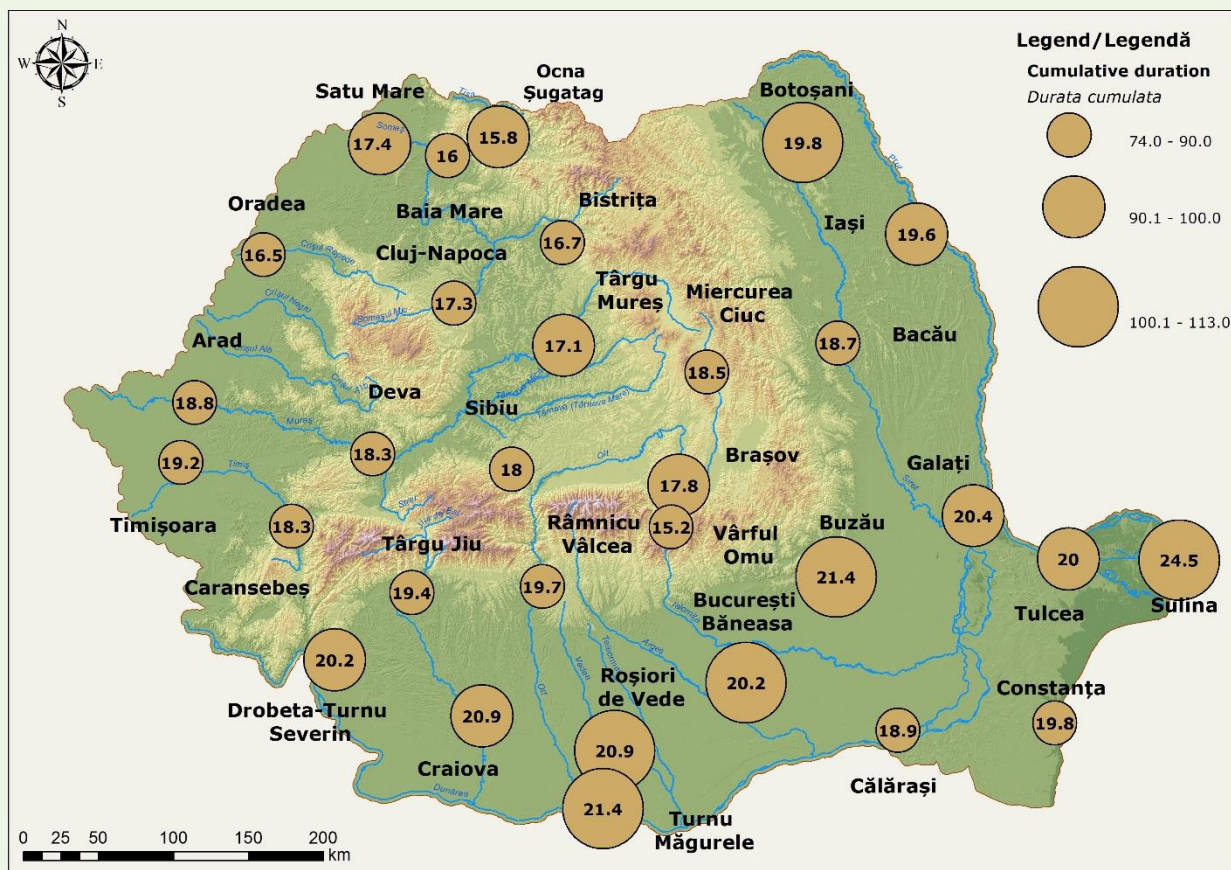


Fig. 4.10. Spatial distribution of the autumn maximum cumulative duration of dry spells detected based on 1 mm threshold
 Distribuția spațială a duratei cumulate maxime a perioadelor secetoase din anotimpul de toamnă detectată pe baza pragului de 1 mm

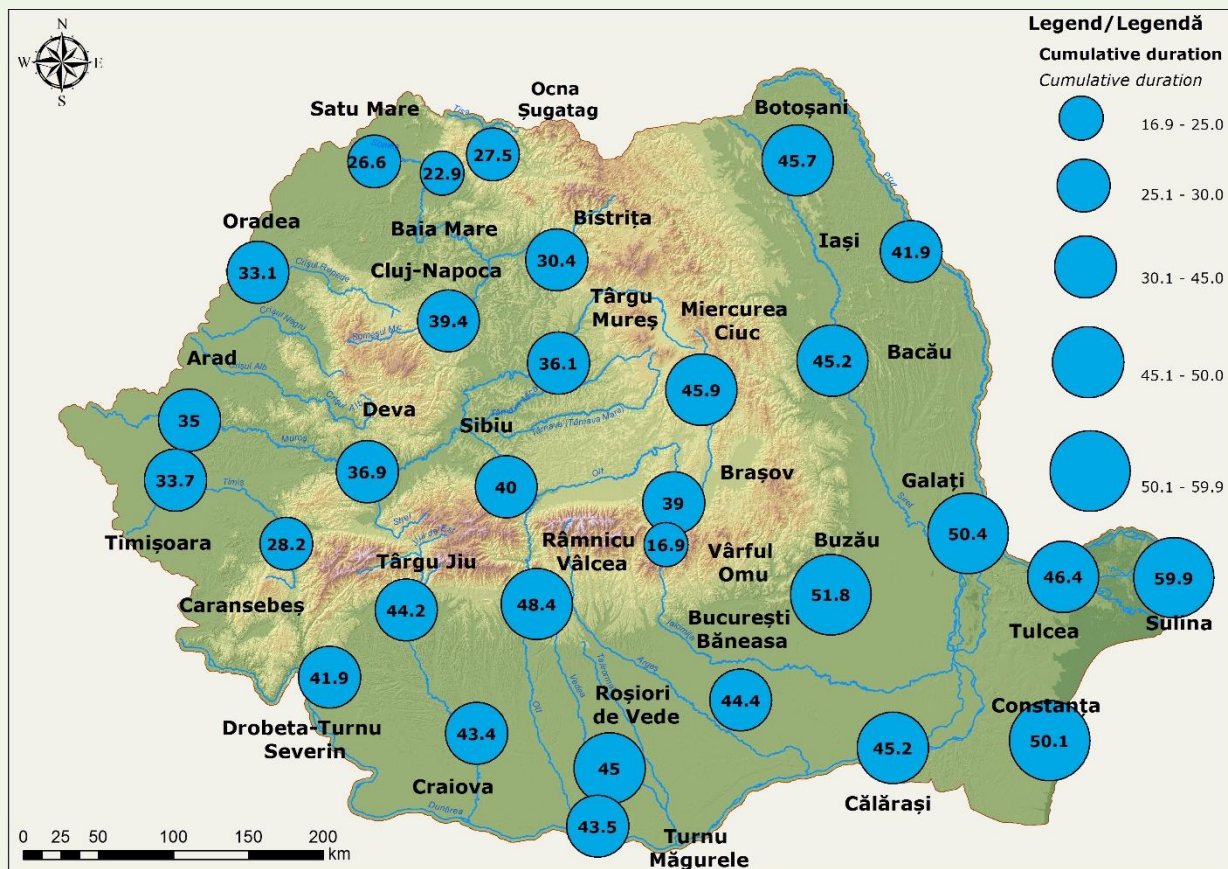


Fig. 4.11. Spatial distribution of the winter mean cumulative duration of dry spells detected based on 1 mm threshold
 Distribuția spațială a duratei cumulate medii a perioadelor secetoase din anotimpul de iarnă detectată pe baza pragului de 1 mm

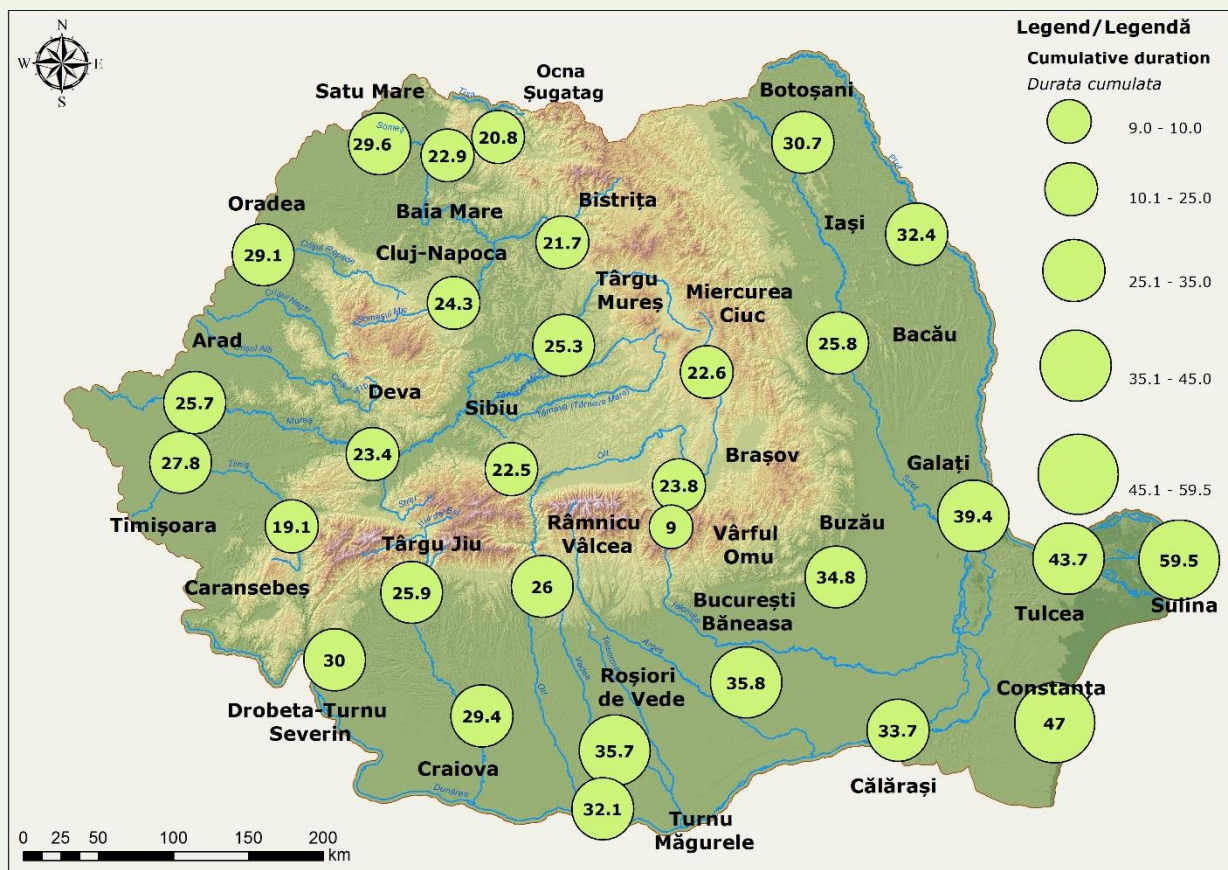


Fig. 4.12. Spatial distribution of the spring mean cumulative duration of dry spells detected based on 1 mm threshold
 Distribuția spațială a duratei cumulate medii a perioadelor secetoase din anotimpul de primăvară detectată pe baza pragului de 1 mm

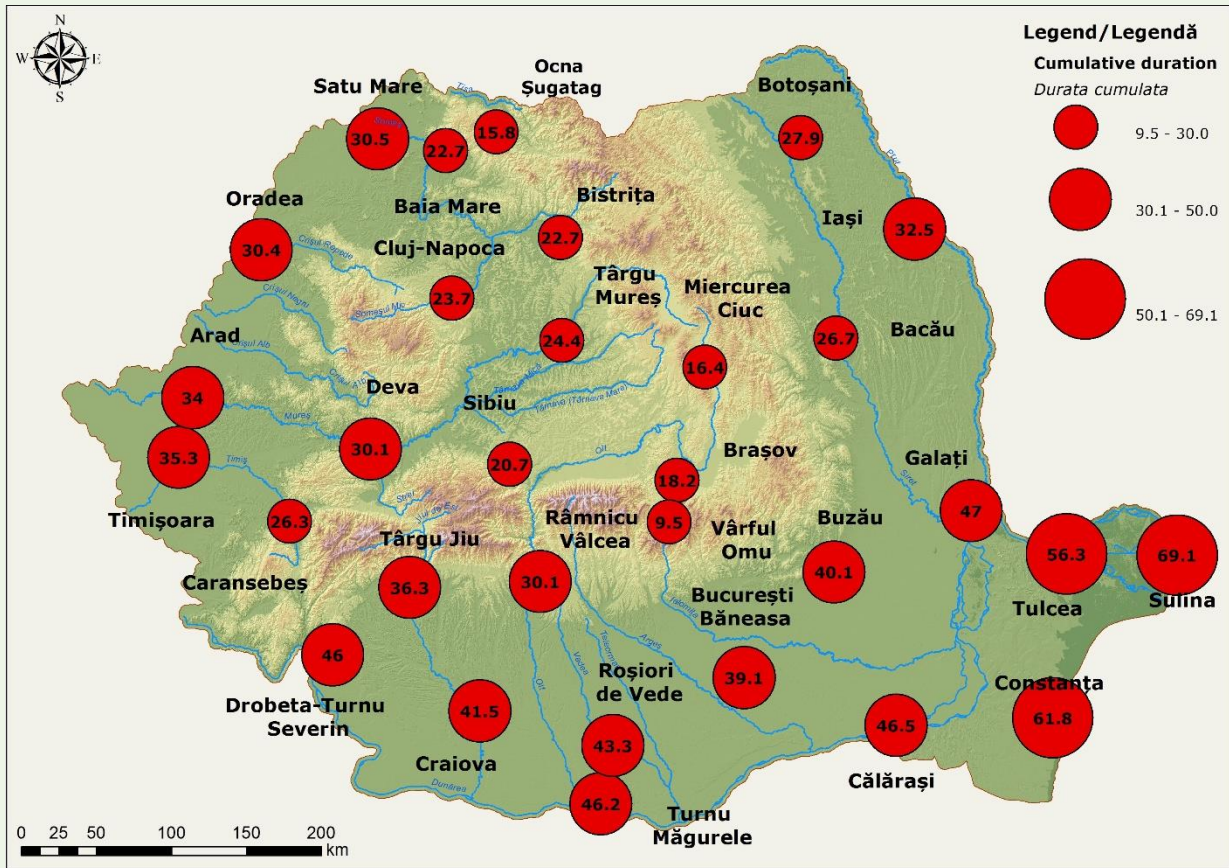


Fig. 4.13. Spatial distribution of the summer mean cumulative duration of dry spells detected based on 1 mm threshold
 Distribuția spațială a duratei cumulate medii a perioadelor secetoase din anotimpul de vară detectată pe baza pragului de 1 mm

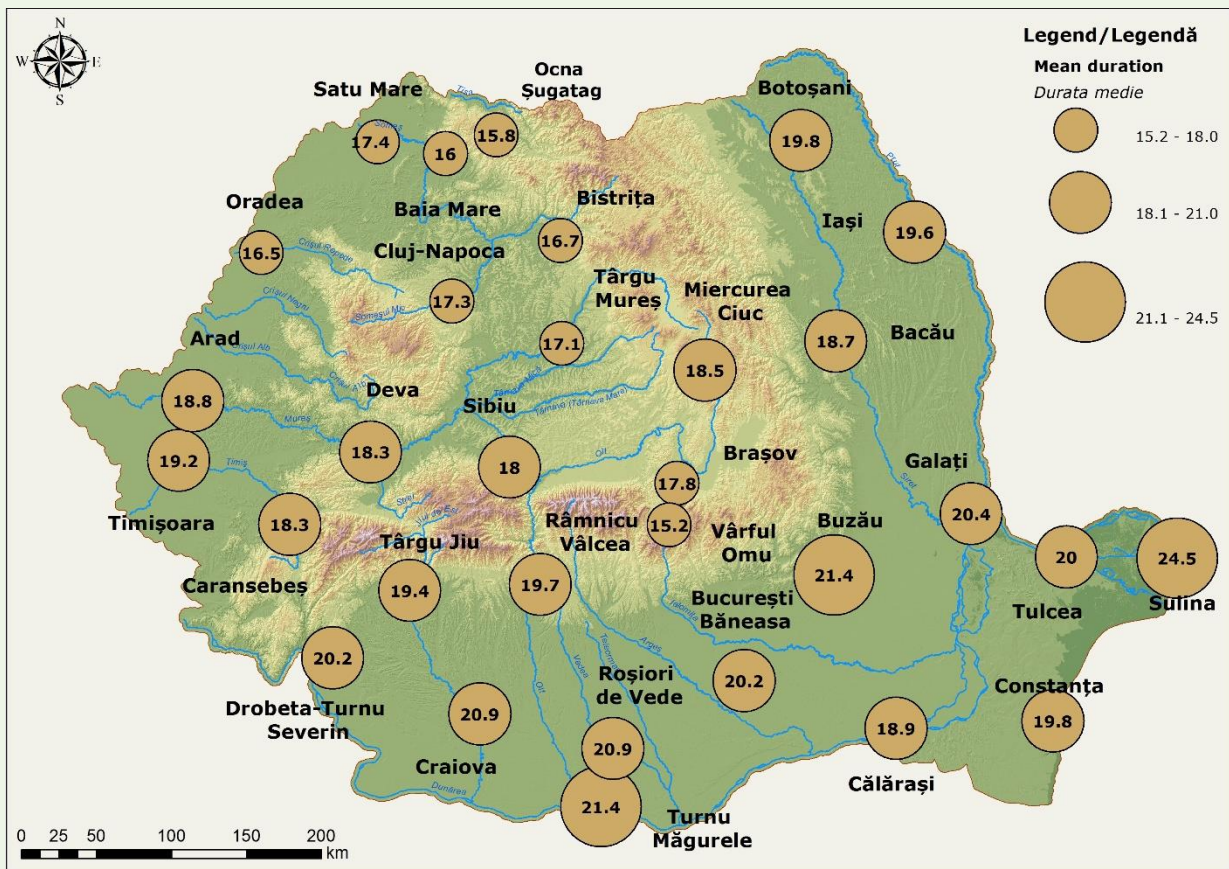


Fig. 4.14. Spatial distribution of the autumn mean cumulative duration of dry spells detected based on 1 mm threshold
 Distribuția spațială a duratei cumulate medii a perioadelor secetoase din anotimpul de toamnă detectată pe baza pragului de 1 mm

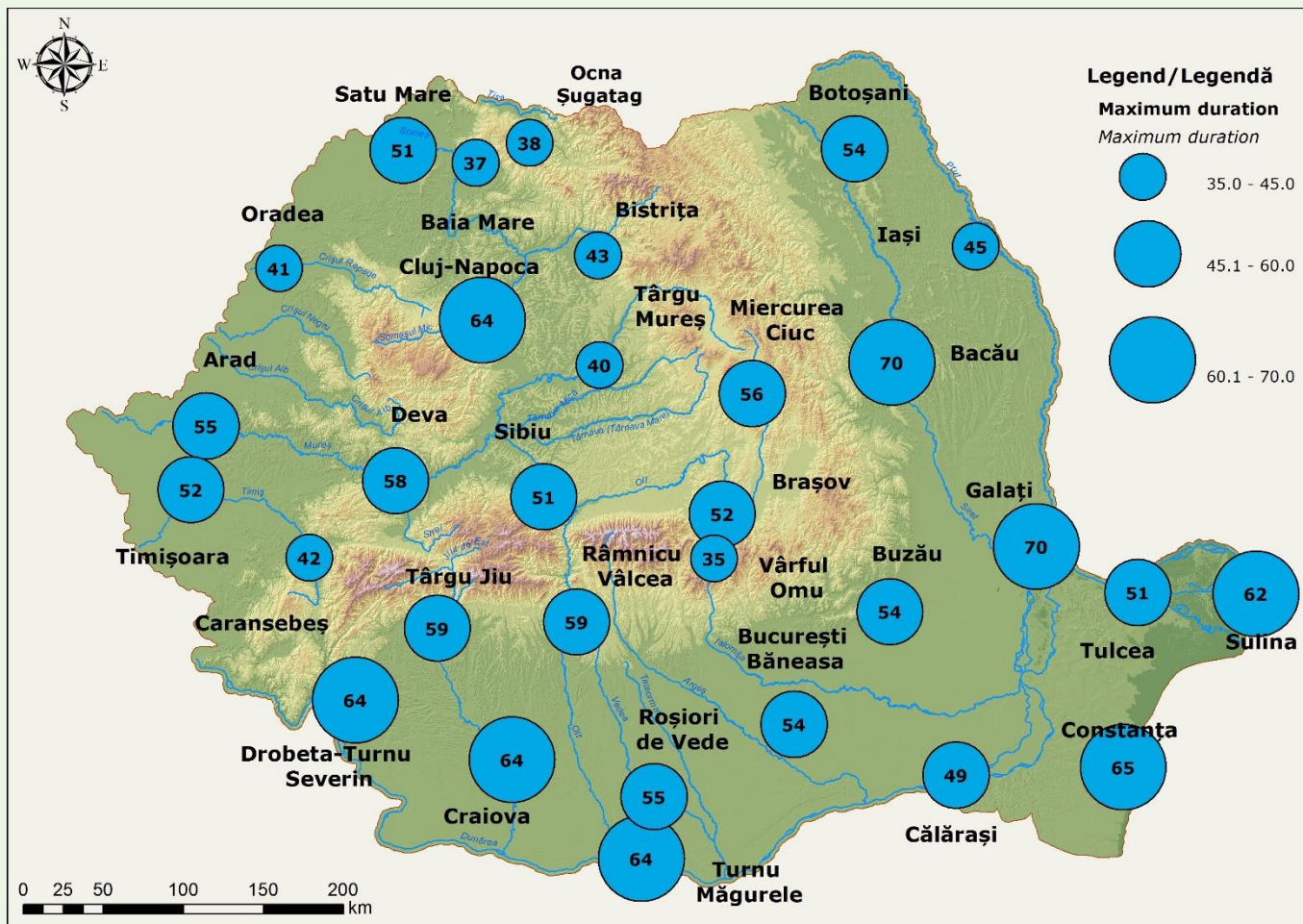


Fig. 4.15. Spatial distribution of the winter maximum duration of dry spells detected based on 1 mm threshold
 Distribuția spațială a duratei maxime a perioadelor secetoase din anotimpul de iarnă detectată pe baza pragului de 1 mm

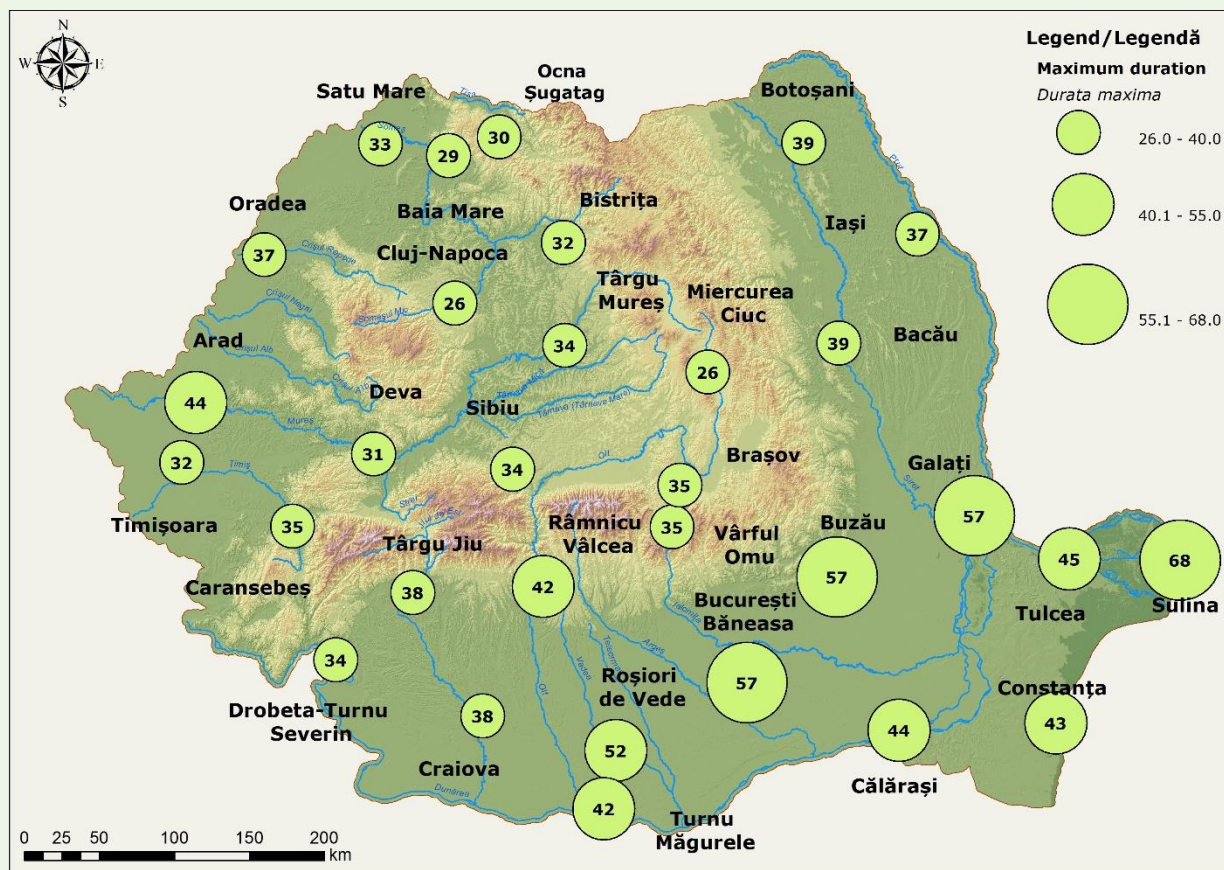


Fig. 4.16. Spatial distribution of the spring maximum duration of dry spells detected based on 1 mm threshold
 Distribuția spațială a duratei maxime a perioadelor secetoase din anotimpul de primăvară detectată pe baza pragului de 1 mm

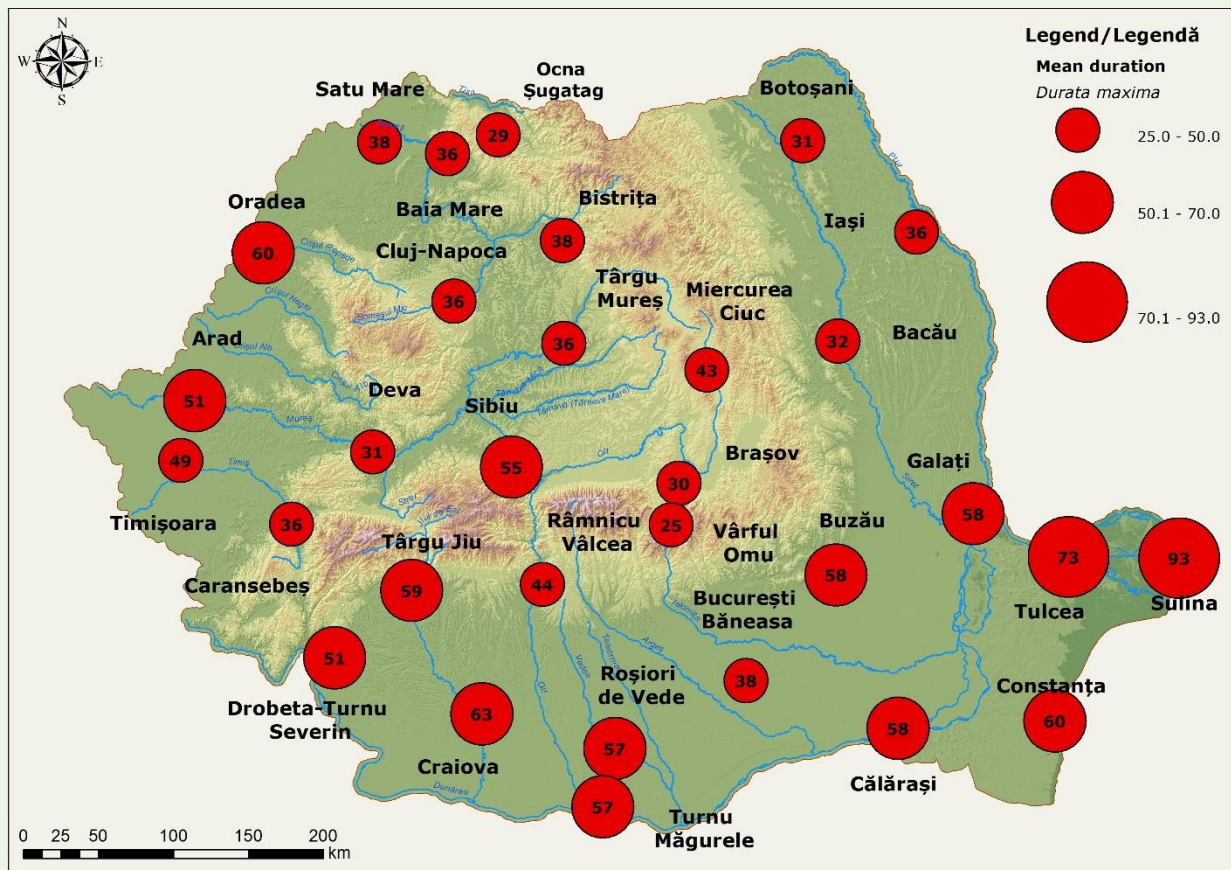


Fig. 4.17. Spatial distribution of the summer maximum duration of dry spells detected based on 1 mm threshold
 Distribuția spațială a duratei maxime a perioadelor secetoase din anotimpul de vară detectată pe baza pragului de 1 mm

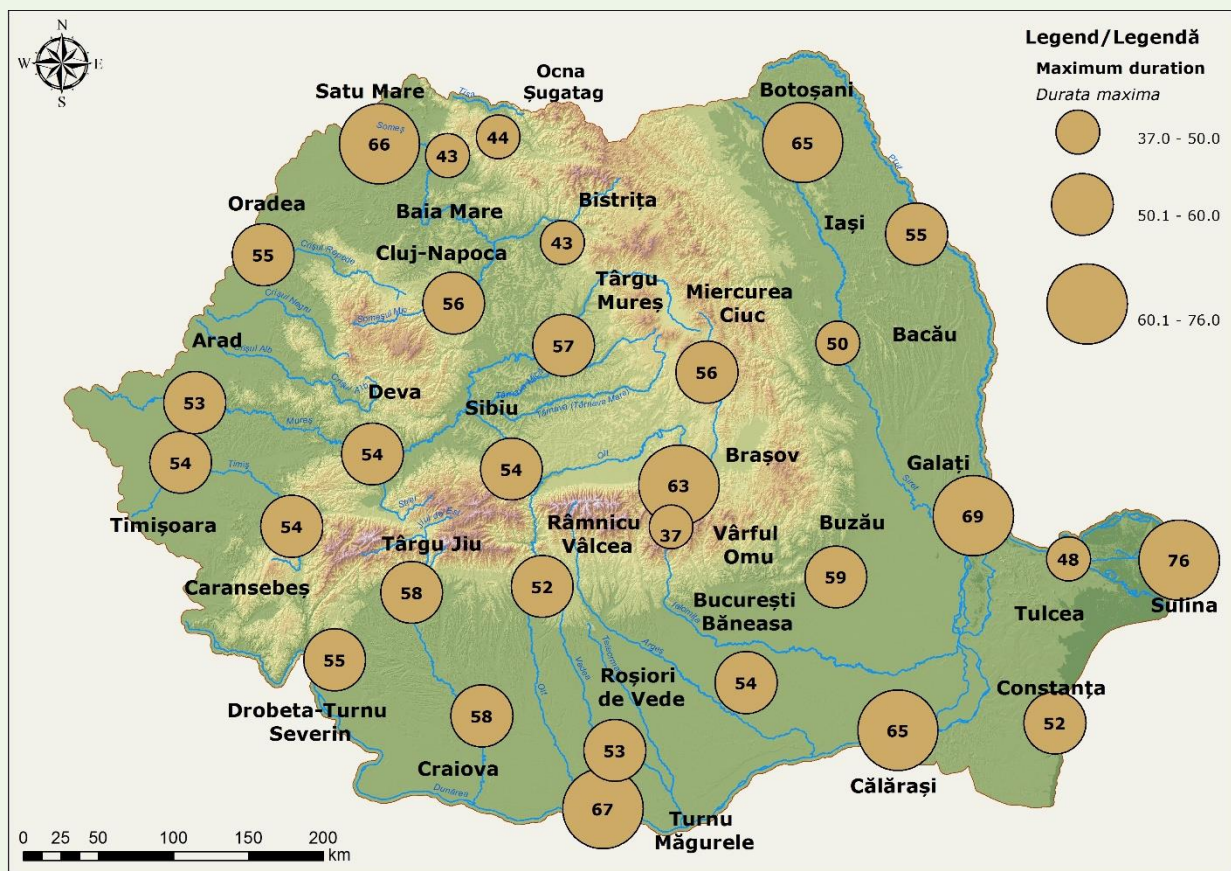


Fig. 4.18. Spatial distribution of the autumn maximum duration of dry spells detected based on 1 mm threshold
 Distribuția spațială a duratei maxime a perioadelor secetoase din anotimpul de toamnă detectată pe baza pragului de 1 mm

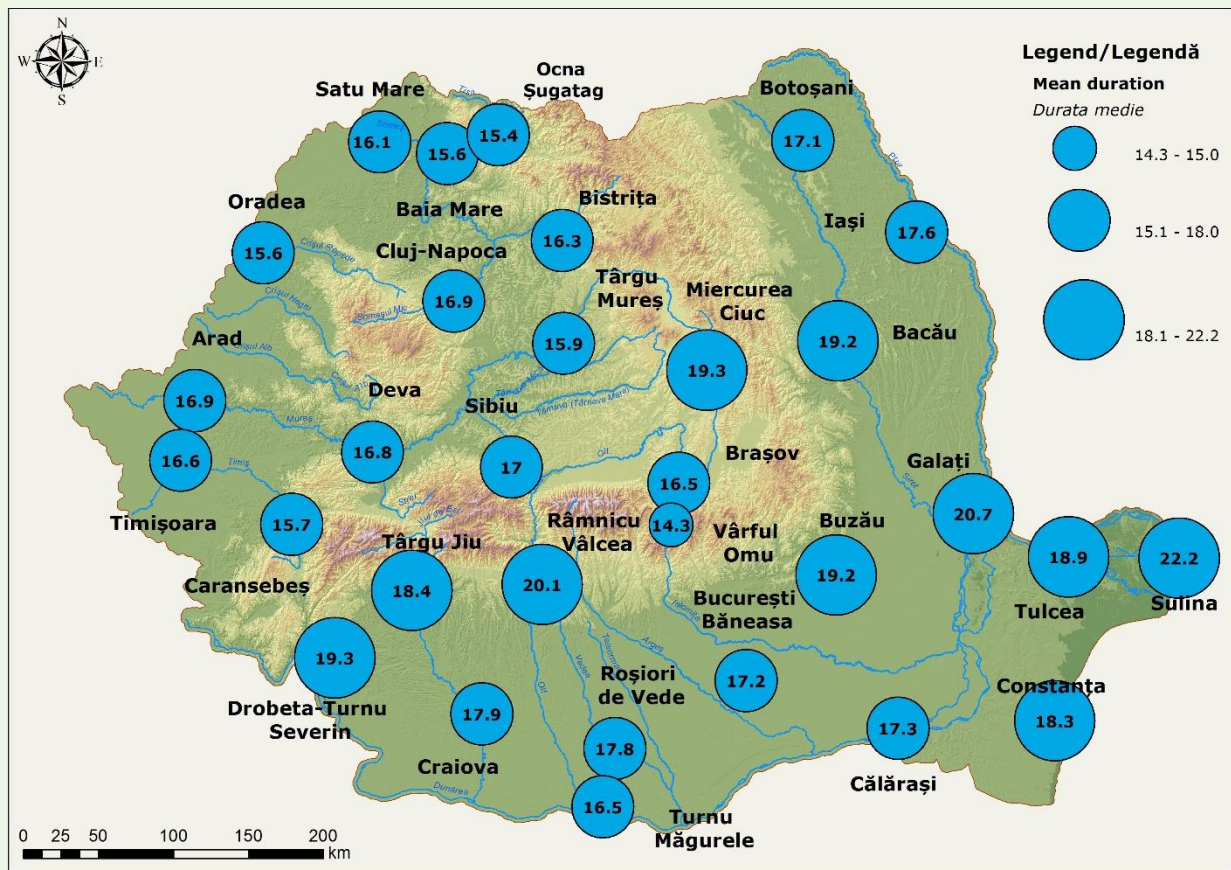


Fig. 4.19. Spatial distribution of the winter mean duration of dry spells detected based on 1 mm threshold
 Distribuția spațială a duratei medii a perioadelor secetoase din anotimpul de iarnă detectată pe baza pragului de 1 mm

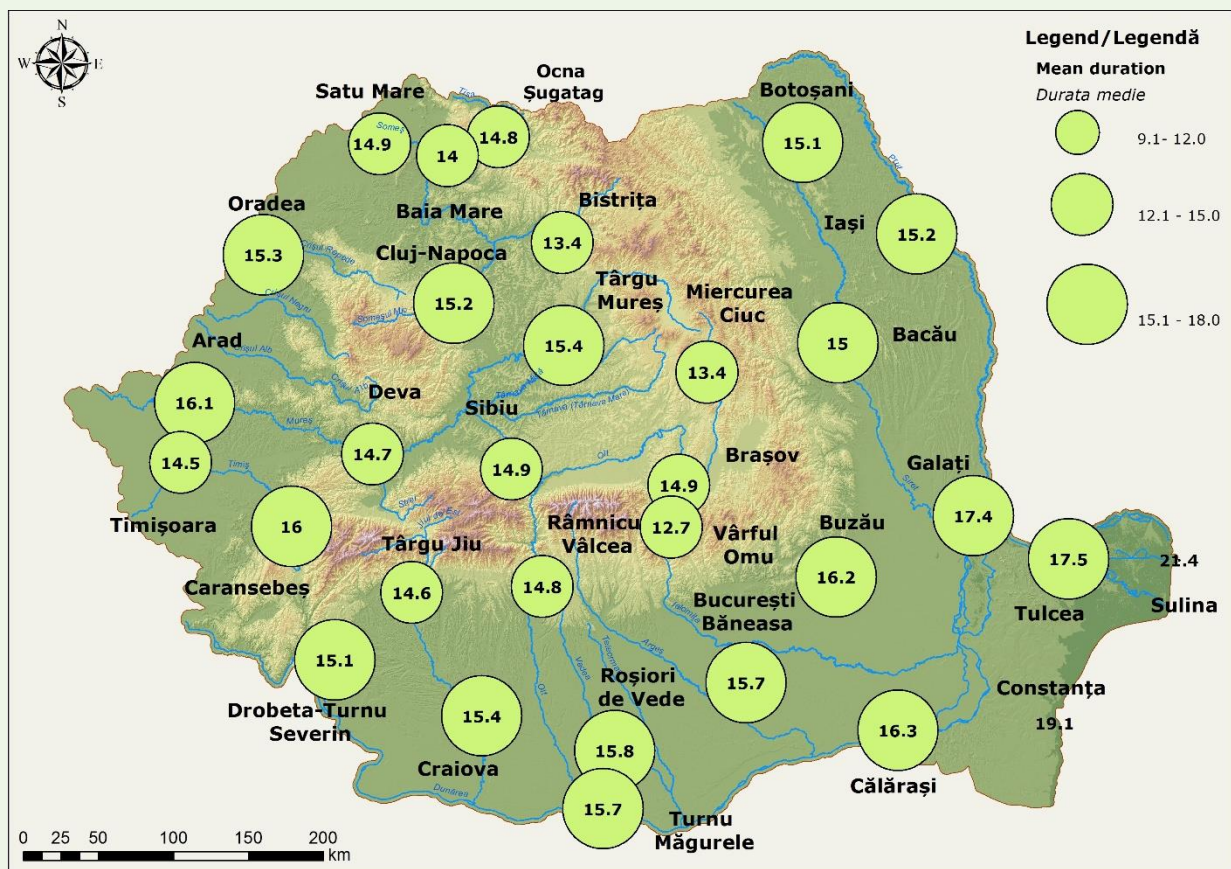


Fig. 4.20. Spatial distribution of the spring mean duration of dry spells detected based on 1 mm threshold
 Distribuția spațială a duratei medii a perioadelor secetoase din anotimpul de primăvară detectată pe baza pragului de 1 mm

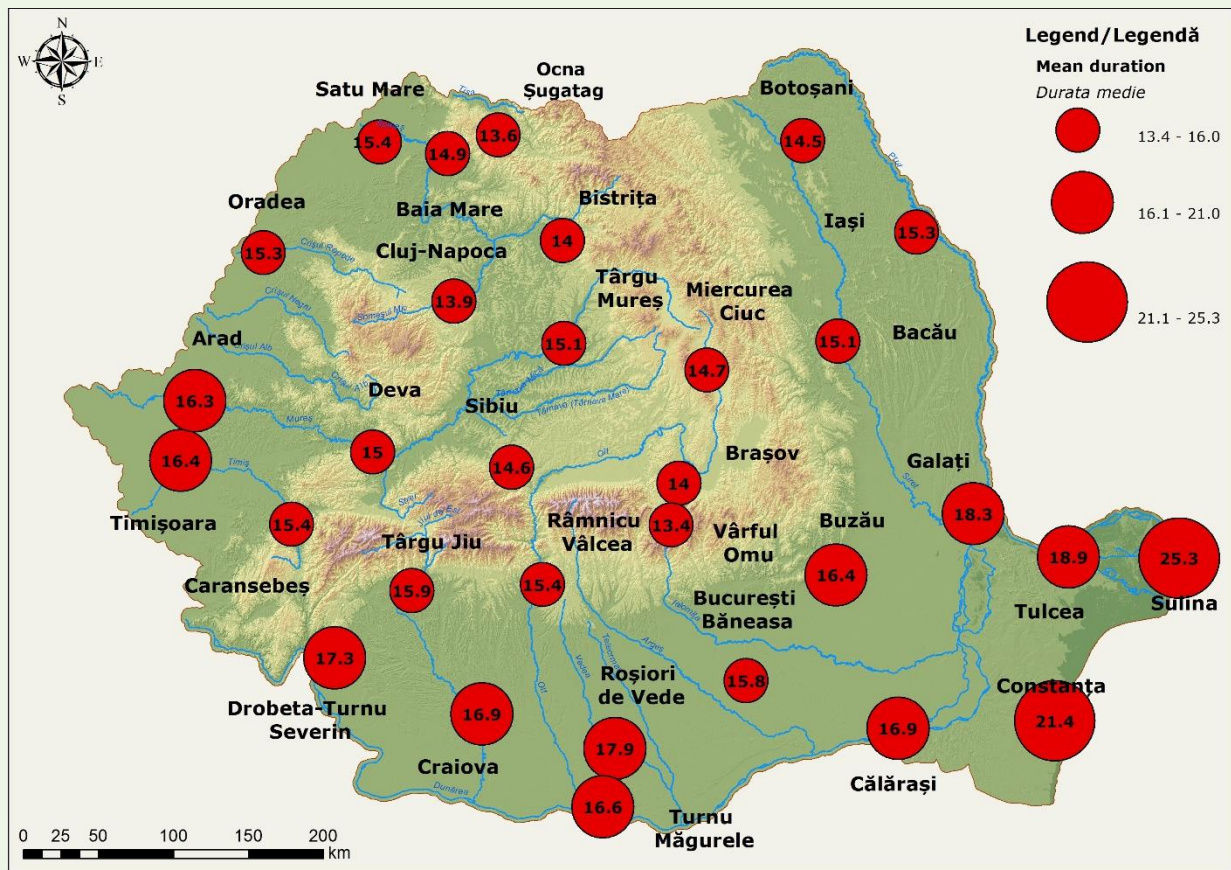


Fig. 4.21. Spatial distribution of the summer mean duration of dry spells detected based on 1 mm threshold
 Distribuția spațială a duratei medii a perioadelor secetoase din anotimpul de vară detectată pe baza pragului de 1 mm

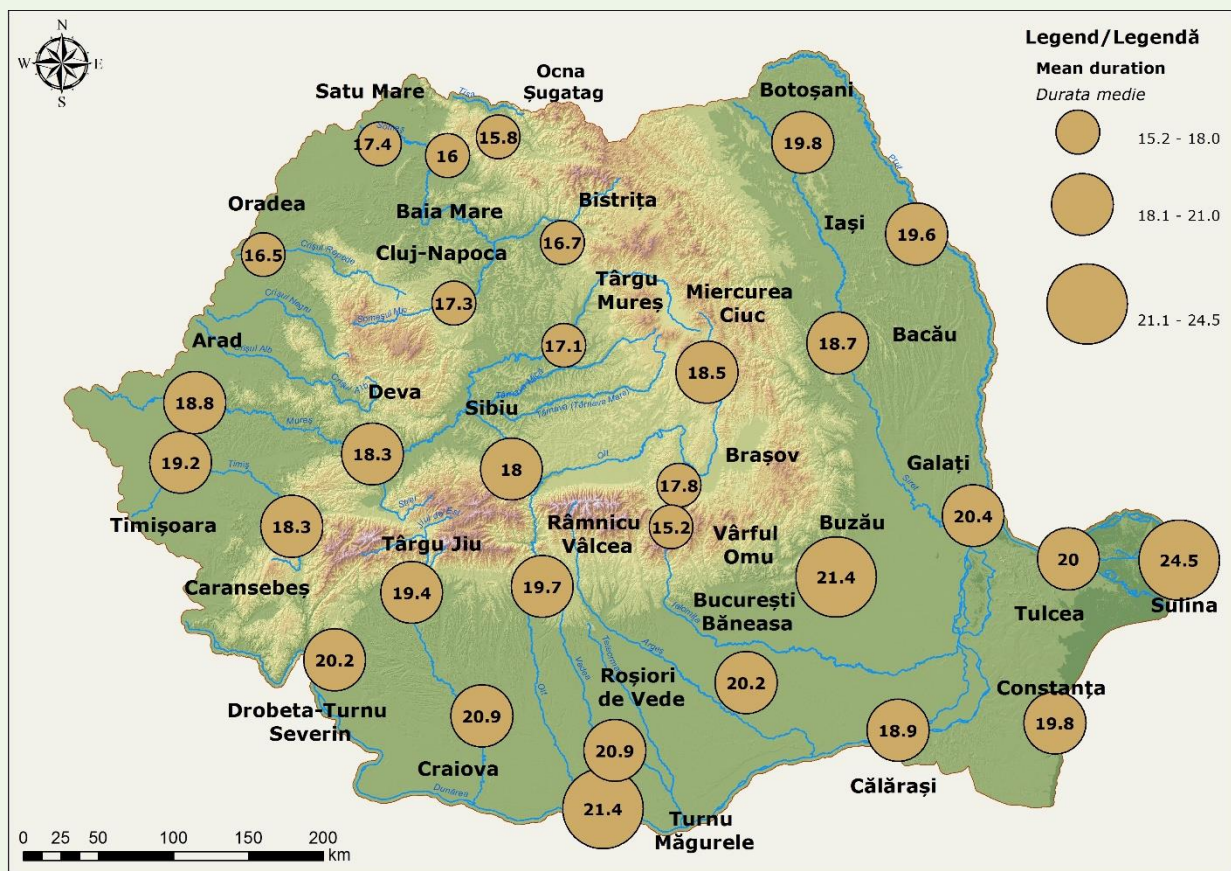


Fig. 4.22. Spatial distribution of the autumn mean duration of dry spells detected based on 1 mm threshold
 Distribuția spațială a duratei medii a perioadelor secetoase din anotimpul de toamnă detectată pe baza pragului de 1 mm

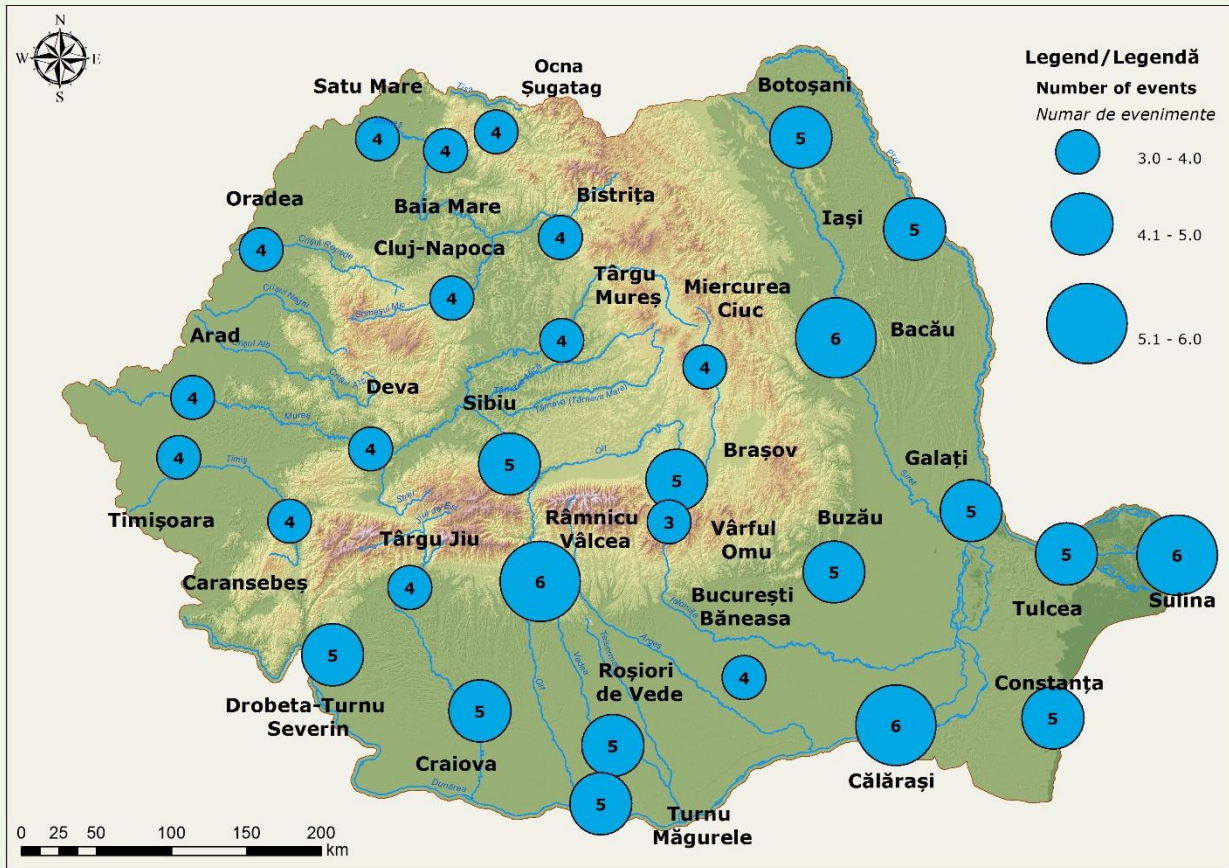


Fig. 4.23. Spatial distribution of the winter maximum number of dry spells detected based on 1 mm threshold
 Distribuția spațială a numărului maxim de perioade secetoase din anotimpul de iarnă detectată pe baza pragului de 1 mm

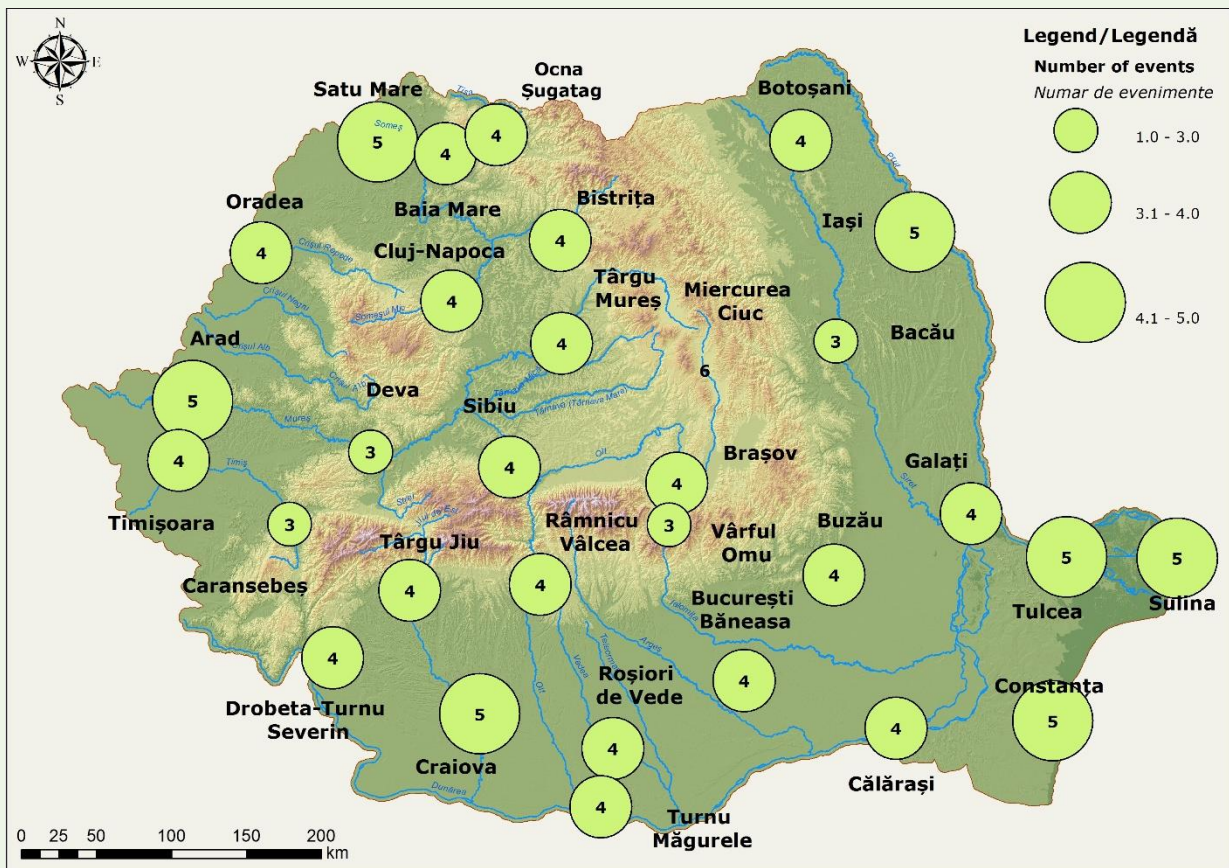


Fig. 4.24. Spatial distribution of the spring maximum number of dry spells detected based on 1 mm threshold
 Distribuția spațială a numărului maxim de perioade secetoase din anotimpul de primăvară pentru pragul de 1 mm

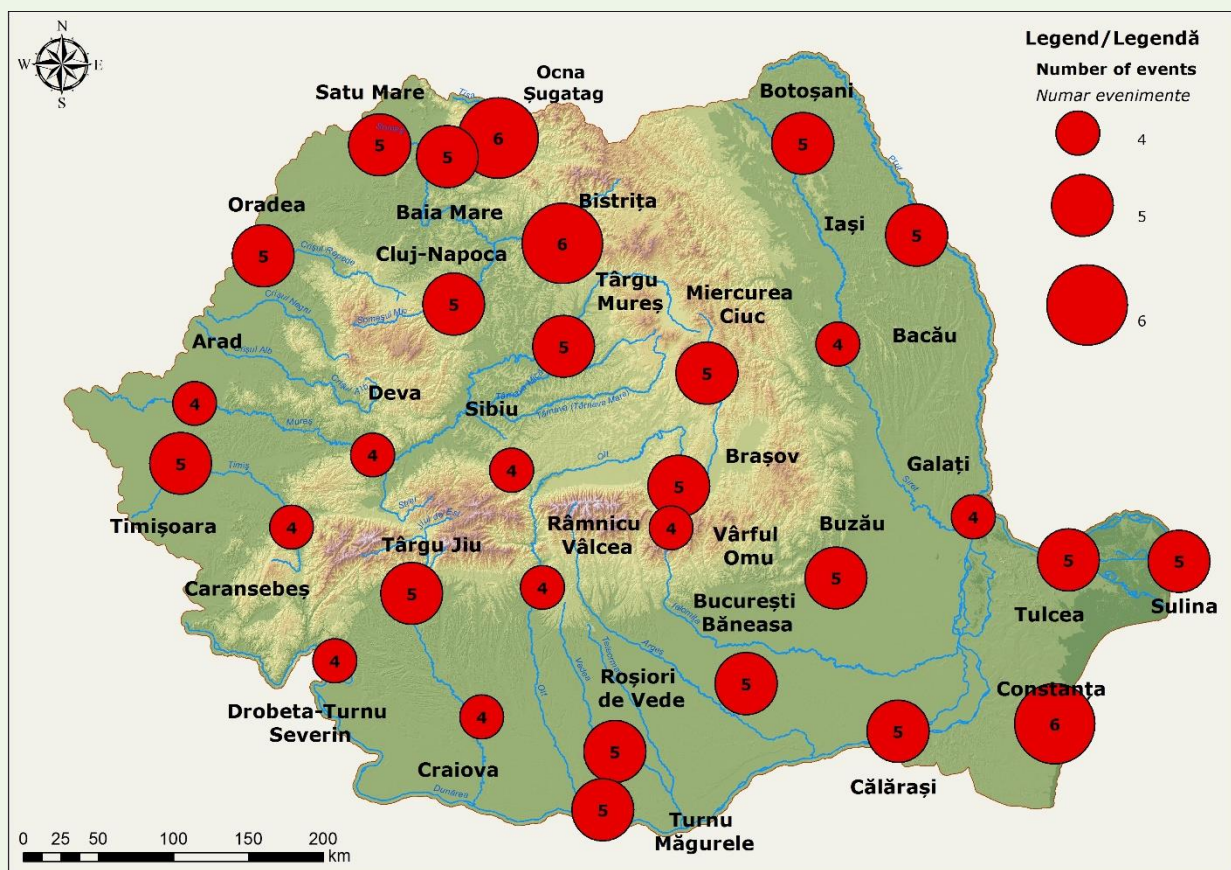


Fig. 4.25. Spatial distribution of the summer maximum number of dry spells detected based on 1 mm threshold
 Distribuția spațială a numărului maxim de perioade secetoase din anotimpul de vară detectată pe baza pragului de 1 mm

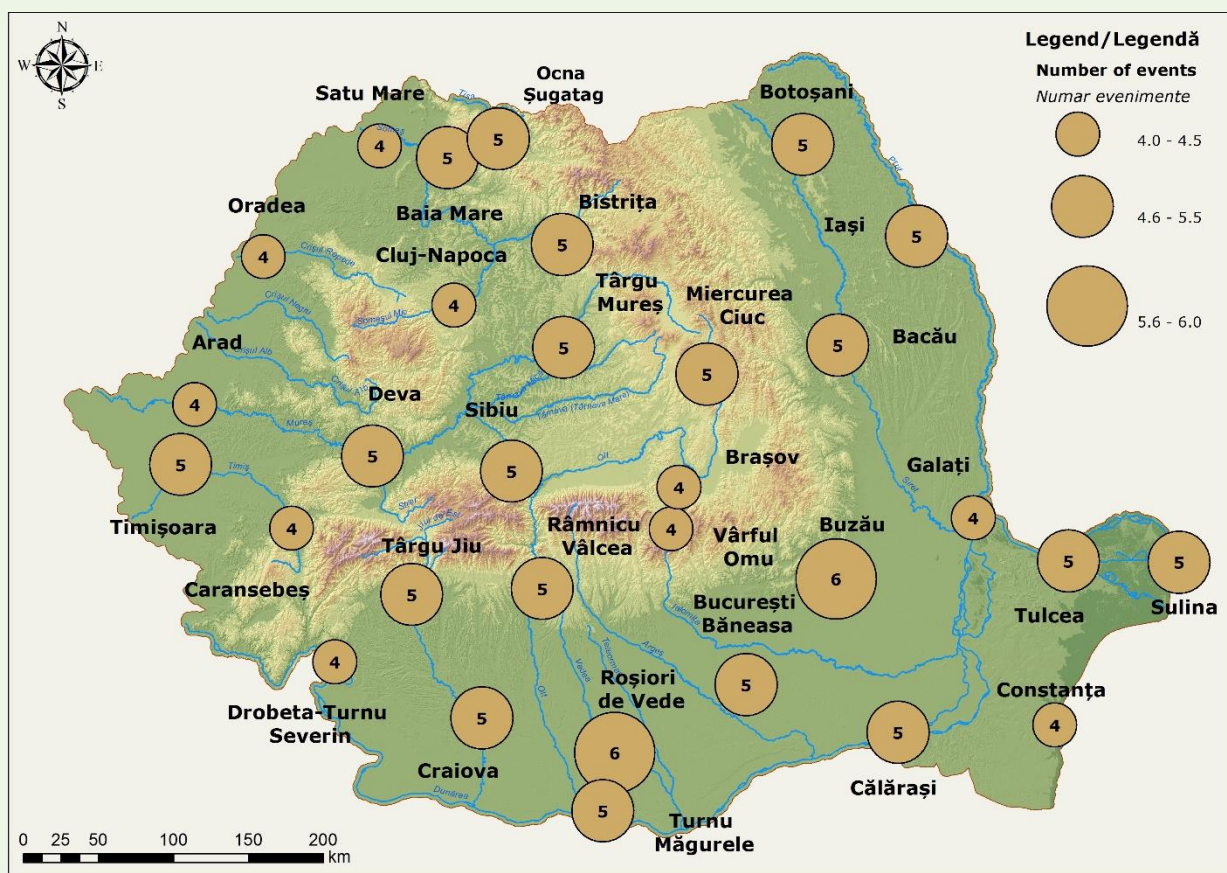


Fig. 4.26. Spatial distribution of the maximum autumn number of dry spells detected based on 1 mm threshold
 Distribuția spațială a numărului maxim de perioade secetoase din anotimpul de toamnă detectată pe baza pragului de 1 mm

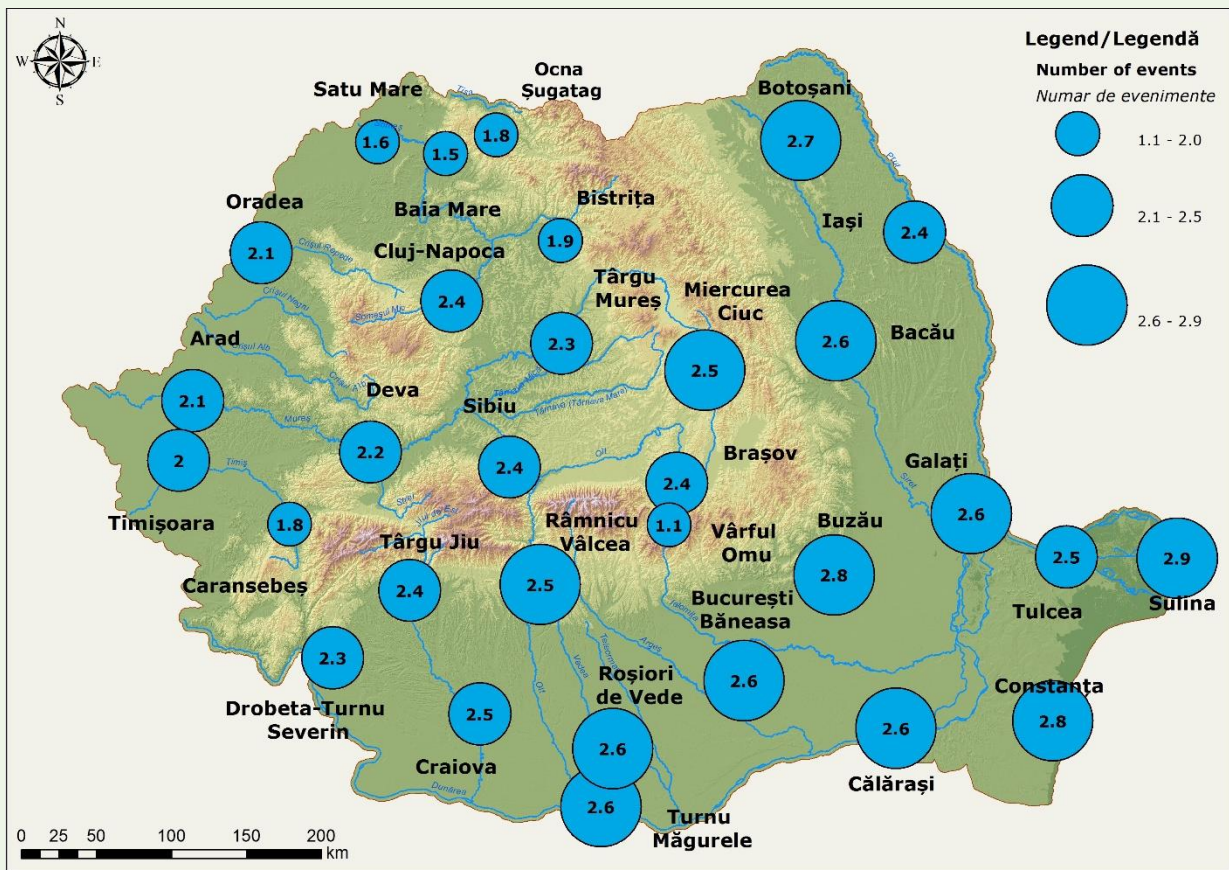


Fig. 4.27. Spatial distribution of the mean winter number of dry spells detected based on 1 mm threshold

Distribuția spațială a numărului maxim de perioade secetoase din anotimpul de iarnă detectată pe baza pragului de 1 mm

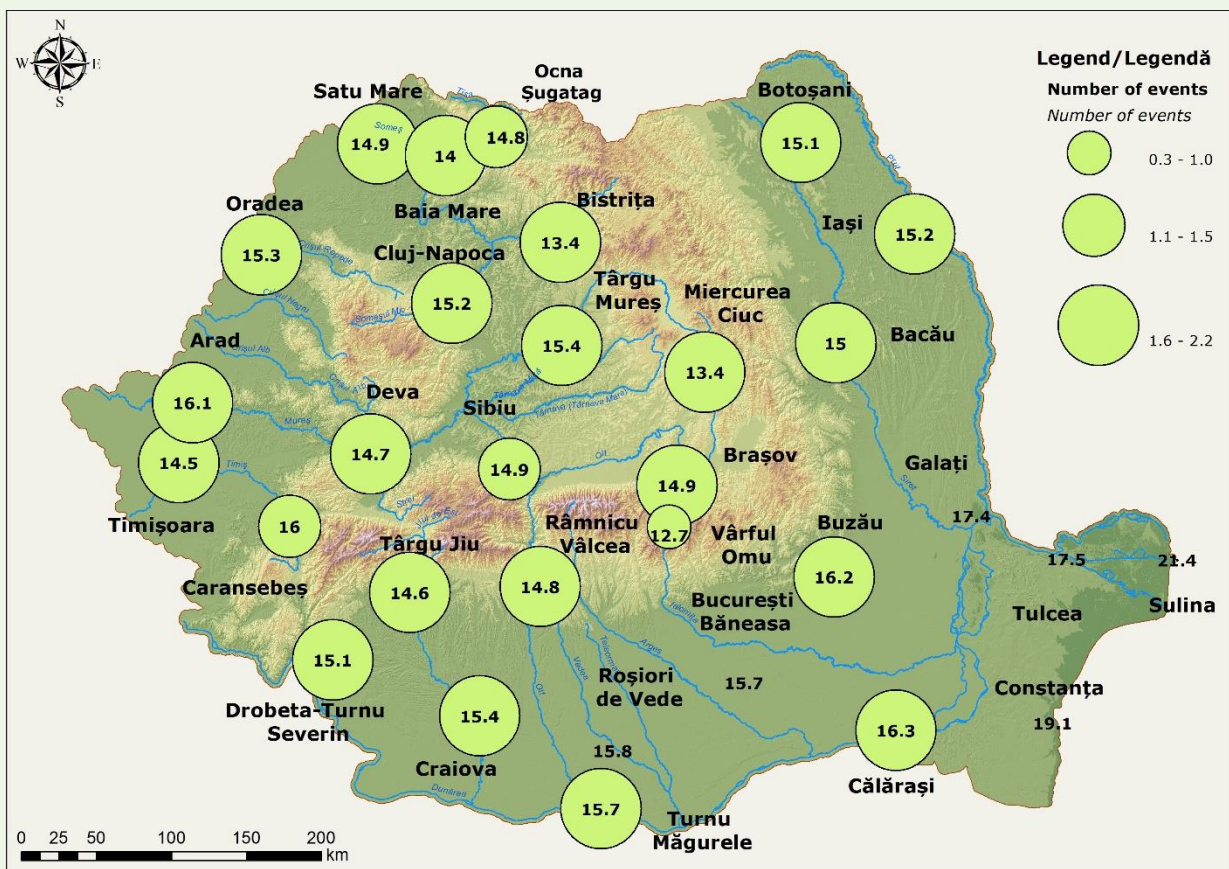


Fig. 4.28. Spatial distribution of the mean spring number of dry spells detected based on 1 mm threshold

Distribuția spațială a numărului maxim de perioade secetoase din anotimpul de primăvară detectată pe baza pragului de 1 mm

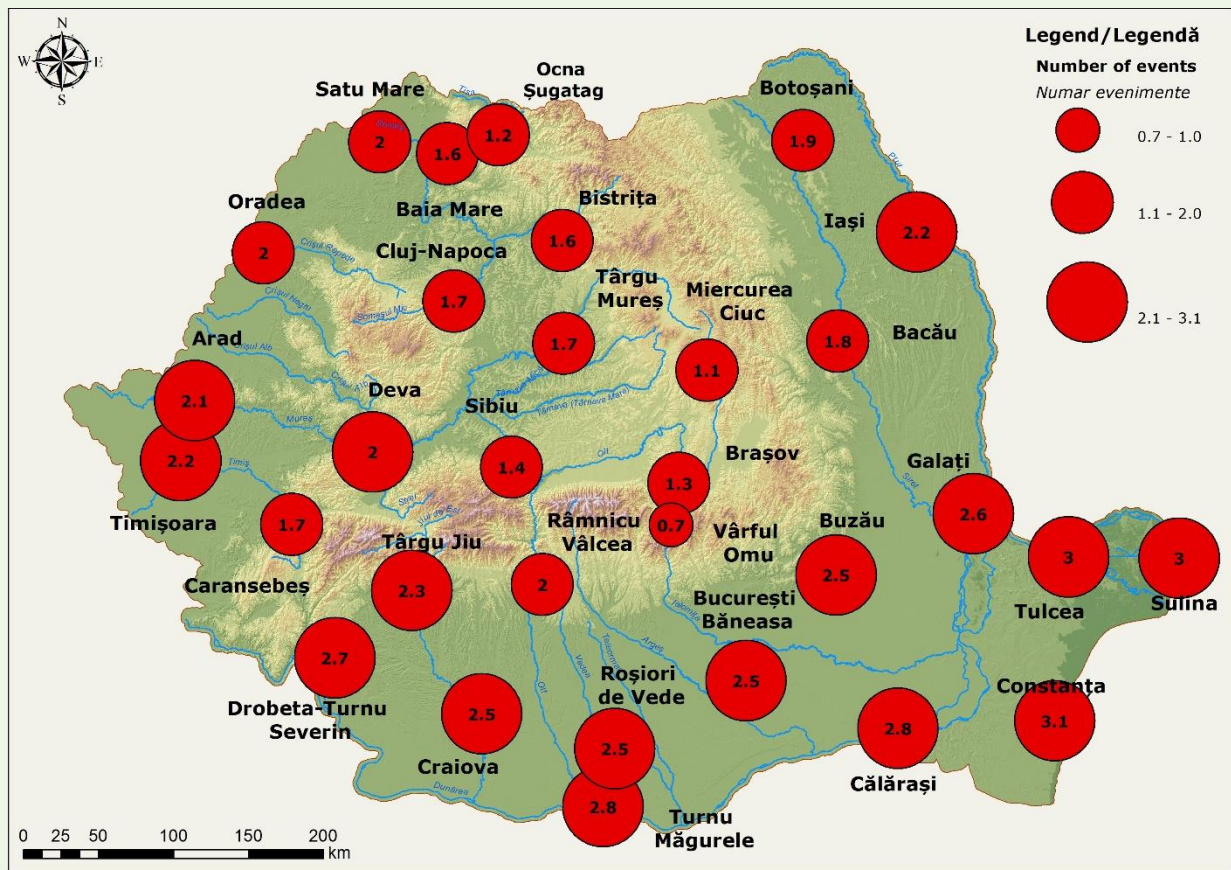


Fig. 4.29. Spatial distribution of the mean summer number of dry spells detected based on 1 mm threshold
 Distribuția spațială a numărului maxim de perioade secetoase din anotimpul de vară detectată pe baza pragului de 1 mm

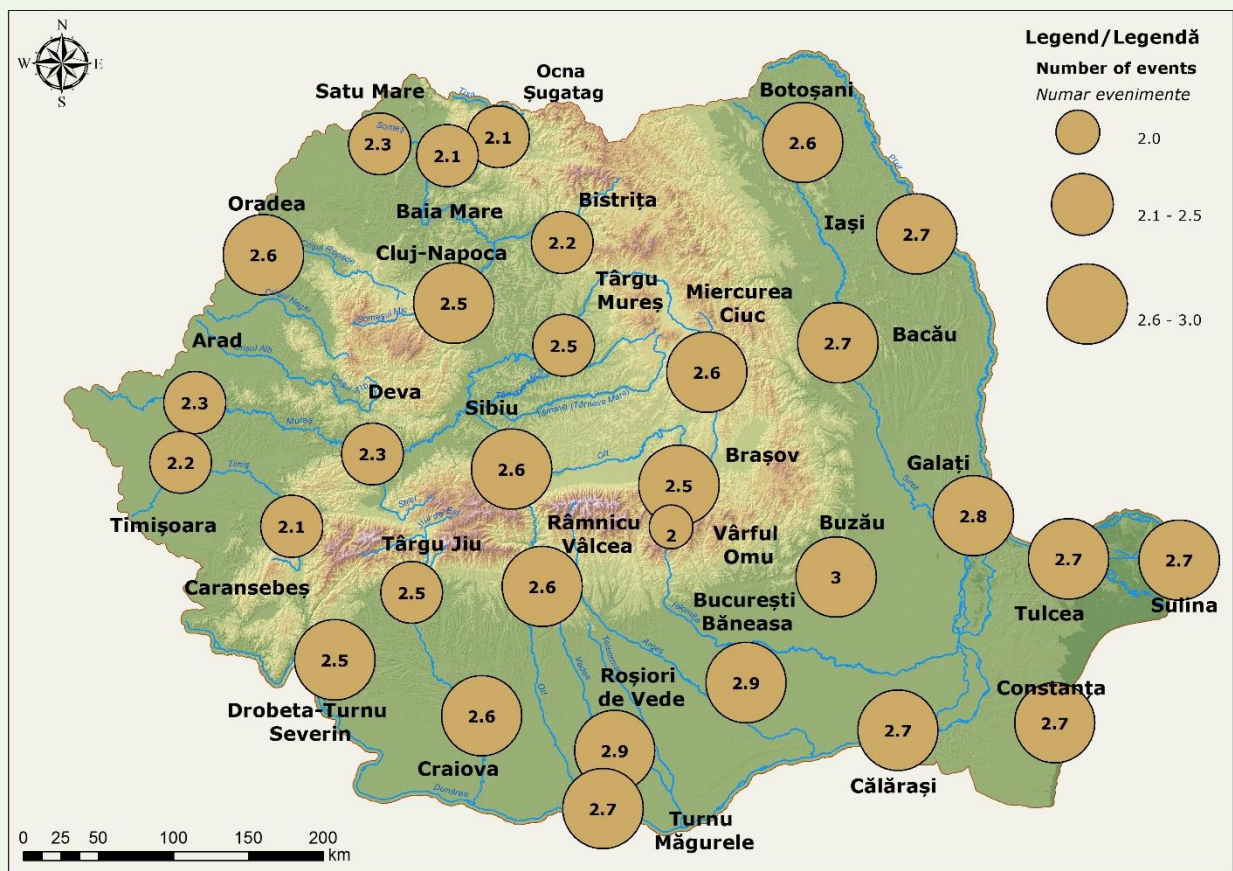


Fig. 4.30. Spatial distribution of the mean autumn number of dry spells detected based on 1 mm threshold
 Distribuția spațială a numărului maxim de perioade secetoase din anotimpul de toamnă detectată pe baza pragului de 1 mm